第三章 影像處理之方法剖析

本論文將在接下來的兩個章節裡,也就是本章節與第四章節中介紹本研究所運用之「數位影像處理」[11]與「類神經網路」的一些基本定理。首先,我們會在本章節中介紹有關影像前處理之兩個步驟,接著介紹的是影像處理中形態學(Morphology)處理的方法及應用的層面,最後,我們會介紹的是影像分割的方法,它可以將我們感興趣的物體(Object)從影像中取出,並和背景作區隔。而本章節理論所運用之結果,將在第六章節的研究成果與討論中闡述與實現。

第一節 影像對比模式

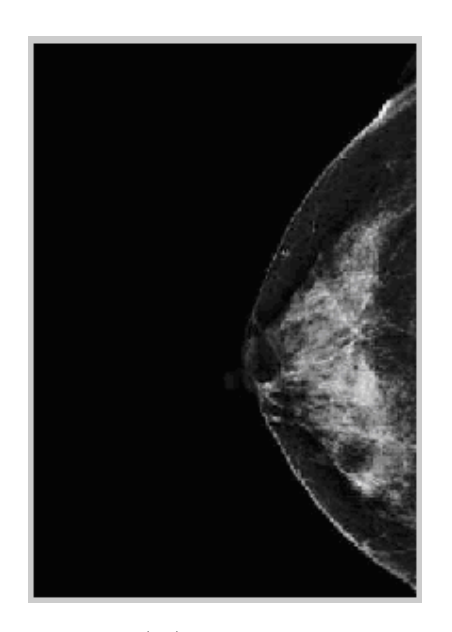
我們首先定義一個影像為一個二維的函數 f(x,y),其中 x 和 y 為一空間座標(Spatial coordinates),而 f(x,y) 通常稱為影像在(x,y) 該點的強度值(Intensity),或是在灰階影像上,我們稱其為灰階值(Gray level)。一般而言,一個數位影像的函數 f(x,y)表示式,我們表示如下:

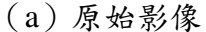
$$f(x,y) = \begin{bmatrix} f(0,0) & f(0,1) & \cdots & f(0,N-1) \\ f(1,0) & f(1,1) & \cdots & f(1,N-1) \\ \vdots & \vdots & \ddots & \vdots \\ f(M-1,0) & f(M-1,1) & \cdots & f(M-1,N-1) \end{bmatrix}$$
(3.1)

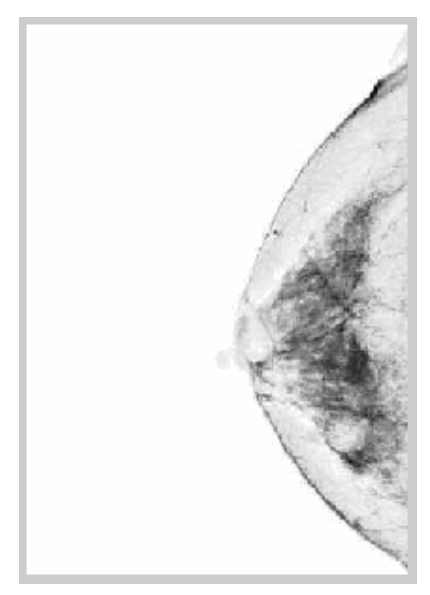
上式 (3.1) 陣列中的每一個元素,例如 f(0,0) 等,我們稱為影像元素 (Image element)、圖像元素 (Picture element)、像素 (Pixel)或是像素點 (Pel),而在接下來的討論中,我們都將用影像 (Image) 和像素這兩個名詞來表示一張數位影像及其元素。接著,我們要討論的是影像的反白和對比的增強。

壹、 影像的反白

影像的反白算是影像前處理中較為基礎的方法之一,但有時卻是不可或缺的,因為在醫學影像上,數位影像的反白可以造成猶如 X 光片之負片的效果,如下圖 3-1 所示(接下來的影像圖示將以醫學影像上之數位乳房 X 光的影像作示範說明)。







(b) 反白影像

圖 3-1 乳房 X 光影像之反白

又如之前所述的,我們已將一影像定義為函數 f(x,y),屬於一個包含圖像元素的集合,則我們可以知道的是,在集合論中,f可視為來自實數集合R中的一個集合,所以影像的反白即為f的補集,其函數之表示式如下:

$$f^{c}(x,y) = 1 - f(x,y)$$
 (3.2)

此概念我們將在下兩節,也就是形態學及影像分割的定理中使用到。

貳、 影像的增強

關於影像對比增強的部份,我們將採用使對比度延展的轉換函數和直 方圖處理的方式來做比較。首先,我們考慮底下(3.3)的一個轉換函數[12]。

$$s = T(r) = \frac{1}{1 + (m/r)^{E}}$$
 (3.3)

其中r代表輸入影像的強度值,s為輸出影像中對應的強度值,E是控制此函數的斜率,當(3.3)式中的E為 20 時,其轉換函數圖形如下圖 3-2 所示,而m 為我們要討論的一個極限函數,此極限函數又可以稱為臨界(Thresholding)函數。

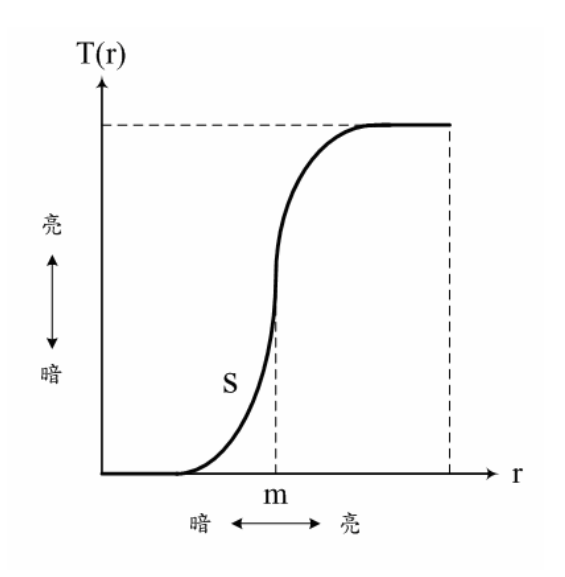
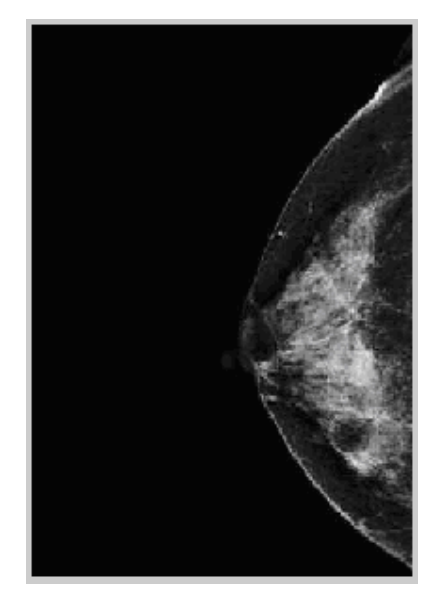
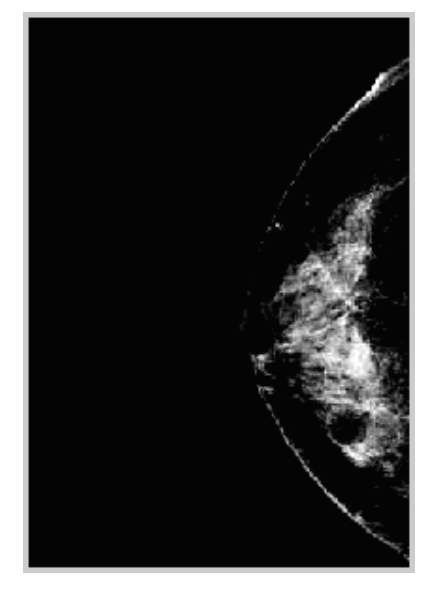


圖 3-2 轉換函數之圖形

由圖 3-2 我們知道,當輸出影像的輸入位準比m小一些時,會馬上對應到一較窄的暗帶部份,而當輸出影像的輸入位準比m大一些時,其對應的也是一較窄的亮帶部份,由此結果,我們可以得到如下圖 3-3 之 (b) 所示的一個已增強對比的影像。





(a) 原始影像

(b) 增強影像

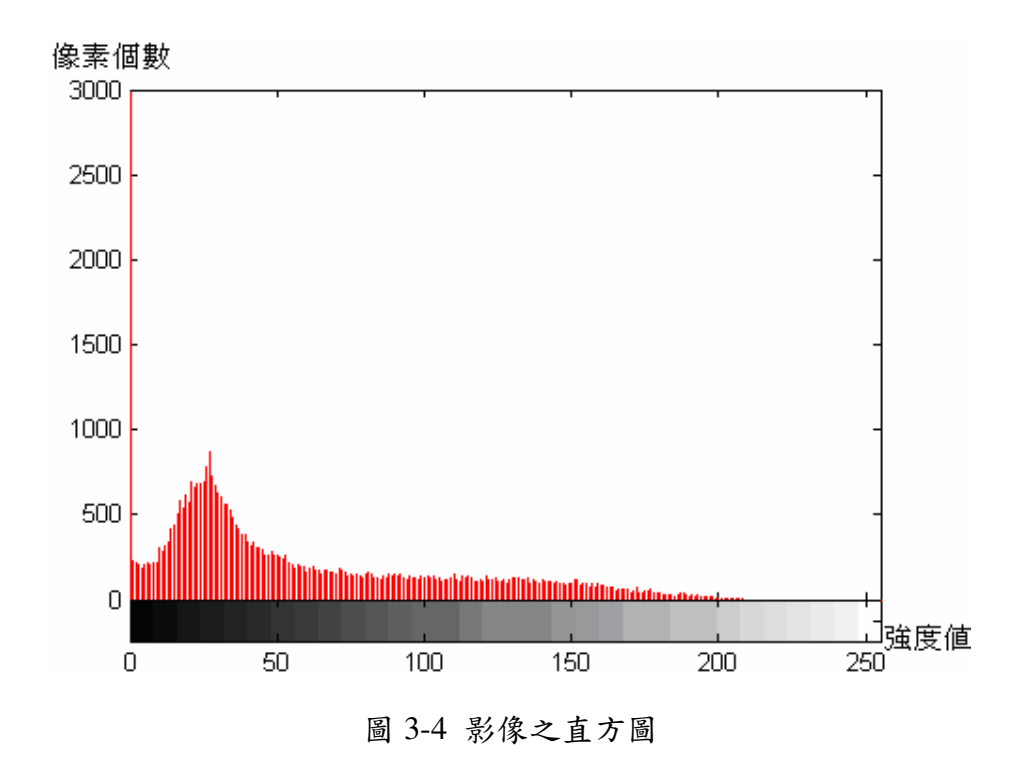
圖 3-3 對比增強之影像

接著我們考慮直方圖的影像增強模式。在[0, G]範圍內總共含有L個可能之強度值的數位影像,其直方圖定義成離散函數為 $h(r_k)$ 。

$$h(r_k) = n_k \tag{3.4}$$

其中 r_k 是在區間[0,G]中的第k個強度值,而 n_k 是影像中強度值為 r_k 之像素的個數。

通常我們在討論灰階的影像時,其強度值的區間會是 1 到 255,所以我們都會令直方圖的橫座標為強度值區間[0,255],而影像的像素個數則為縱坐標(縱坐標的區間設定會視影像之大小及像素之分布而有所變化),有時區間的設定會影響後來在分析影像灰階值統計上的結果,近而造成影像的表示和描述產生不正確的現象(例如影像分割中臨界值 T 之分析),我們將在本章最後一節的影像分割定理中證明。下圖 3-4 則為圖 3-3 之 (a)影像的直方圖(其區間之設定已做過處理)。



我們要產生直方圖增強影像的結果,就要討論到直方圖上的機率分佈 函數,首先我們定義影像的機率分佈函數如下:

$$p(r_k) = \frac{h(r_k)}{n} = \frac{n_k}{n} \tag{3.5}$$

其中n為影像中像素的總數。接著,我們利用直方圖匹配(Histogram matching)的方法產生指定的且新生成的直方圖去增強原來的影像。我們定義的轉換函數如下:

$$H(z) = T(r) = \int_0^r p(w)dw$$
 (3.6)

其中w為虛擬的積分變數,而z是所要尋求之輸出影像的強度值。由於z可以獲得較為均勻的機率分佈函數 $p(z_k)$,所以我們經由(3.6)式之逆轉換求得 $z=H^{-1}\big(T(r)\big)$ 後,就可以得到如下圖 3-5 所示之可匹配的直方圖及增強的影像。

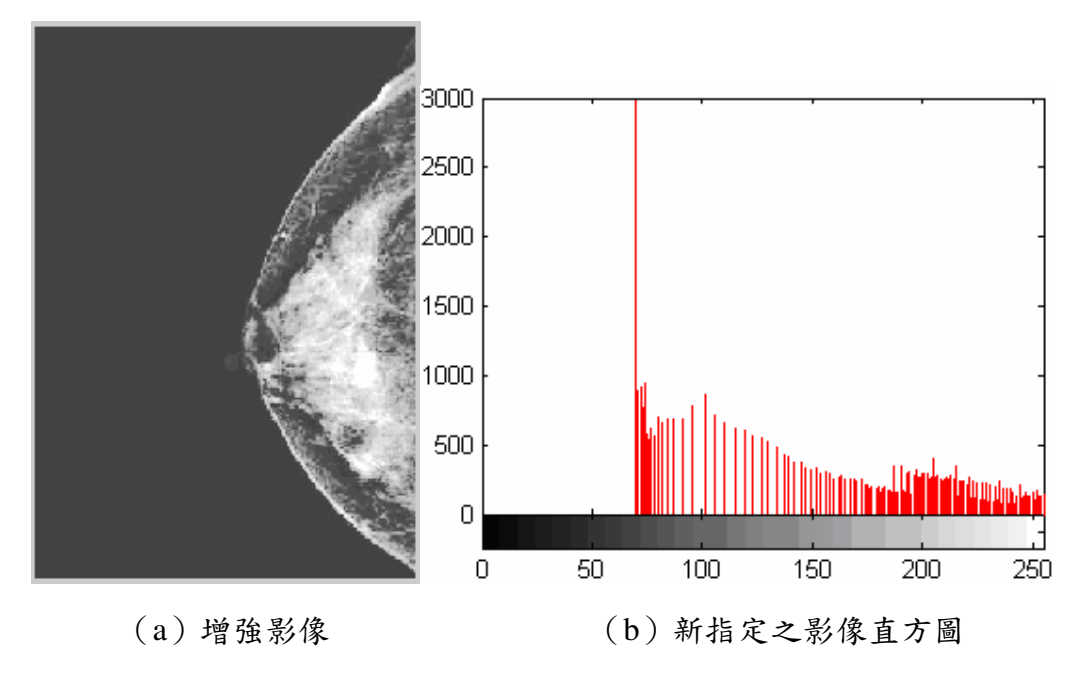


圖 3-5 直方圖匹配增強之影像與直方圖

我們由圖 3-3 之 (b) 與圖 3-5 之 (a) 做比較後可發現,對比度延展 之效果似乎比直方圖匹配的效果更加好,因為直方圖的影像增強是為增加 全域之變化,連我們不重視的背景細節部份亮度也被增強了,且計算上的 複雜度差不多,所以,對比度延展在影像增強方面似乎呈現較優勢之情形。

第二節 形態學的理論基礎

形態學這個名詞通常代表處理動物和植物形式之結構分析。就數學上的形態學而言,把它當作抽取影像成分的工具,而這些成分在區域形狀的表示和描述上是有用的[13]。首先我們定義一些集合論中較少見且將會利用到之集合運算。

令C是一個卡式座標(Cartesian)中的集合,而w=(x,y)為代表像素座標中的任一元素,則我們定義集合C的反射(Reflection) \hat{C} 及平移(Translation) $(C)_z$ 如下:

$$\hat{C} = \{ w \mid w = -c, \quad \text{if } c \in C \}$$
 (3.7)

$$(C)_{z} = \{ w \mid w = c + z, \text{ if } c \in C \}$$
 (3.8)

其中c可代表C中的任一個元素,而 $z=(z_1,z_2)$ 代表集合C平移的距離。我們可依序將上式(3.7)與(3.8)的集合展示於圖 3-6 的(a)與(b),圖中較為粗黑的點(O點)可視為集合中的指定原點(Origin)。

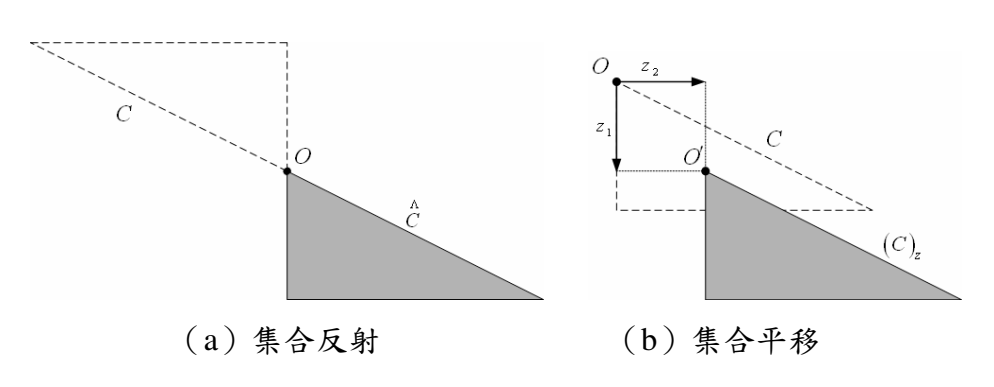


圖 3-6 集合論之演算

壹、 形態學之運算

膨脹(Dilation)和侵蝕(Erosion)是形態學處理中較重要的基礎運算,但由於許多相關研究的文獻上均有記載[14],所以此處只簡單的介紹其基本理論,並以一般常見和前述特定的集合表示式定義兩者。

膨脹是一種在影像中使物體「增大」或「變厚」的運算,此厚化的特定方式和程度是由一種稱為結構元素(Structuring element)的形狀來控制。數學上,膨脹是以集合運算的方式來定義,例如A藉由B的膨脹可記為 $A\oplus B$,表示成(3.9)式。

$$A \oplus B = \left\{ z \mid \begin{pmatrix} A \\ B \end{pmatrix}_z \bigcap A \neq \emptyset \right\}$$
 (3.9)

與膨脹相反的是侵蝕運算,它可使影像中的物件「收縮」或是「變薄」,

收縮的方式和程度也是由結構元素所控制。A被B侵蝕記為 $A\Theta B$,表示成 (3.10) 式。

$$A\Theta B = \left\{ z \mid \left(B\right)_z \bigcap A^c \neq \varnothing \right\} \tag{3.10}$$

接下來要介紹的是我們主要會用到的形態學運算,也就是結合膨脹與 侵蝕的斷開和閉合之運算,以及延伸出之形態學重建的運算:

一、 斷開

A對B的斷開,在形態學上可表示為 $A \circ B$,也就是A被B侵蝕一次後,再將結果以B執行膨脹,公式可推導為

$$A \circ B = (A \Theta B) \oplus B$$
$$= \bigcup \{ (B)_z \mid (B)_z \subseteq A \}$$
(3.11)

其中 […]代表所有大括號內之集合的聯集。A。B又可以解釋為 一個可以完全放進A中之B的所有平移所組成之集合。因此,若A中 有部份是在B平移後無法填補的,將會被刪除掉。所以,形態學的斷 開會完全移去無法包容結構元素之物件的區域,使物件輪廓平滑,消 除細的連線,以及移去細的突出物。

二、 閉合

A對B的閉合,在形態學上表示為A•B。其運算過程是和斷開呈 現相反的情形,也就是先執行膨脹後再侵蝕,推導公式如下

$$A \bullet B = (A \oplus B) \Theta B$$
$$= \left(\bigcup \left\{ (B)_z \mid (B)_z \subseteq A^c \right\} \right)^c \tag{3.12}$$

形態學上之閉合也傾向於使物體的輪廓平滑,不過它不像斷開一樣,是部分的移除,而是把斷掉的部份連接起來,做填補細長缺口或填補比結構元素小的孔洞之工作。

三、 形態學之重建

形態學的重建是涉及兩張影像和一個結構元素的形態學轉換,一 張影像視為標記 (Marker),可設定轉換的起始點,另一張影像視為遮 罩,用以限制轉換的輸出;所用的結構元素則定義他們的連通性。如 果 g 和 f 分別代表兩張影像, g 是遮罩,而 f 為標記,則我們可定義一 個 3×3 矩陣為結構元素 A ,接著我們定義形態學重建的公式如下:

$$f' = (f \oplus A) \bigcap g \tag{3.13}$$

其中f'代表執行重建運算一次後新的影像。接著我們依據重建的理論去獲得形態學重建的演算法,其中要特別記住的是,標記影像f必須是g的子集合。

- 1. 將h初始化,使其成為標記影像f。
- 2. 令結構元素 A 中的元素均為二值化的 1。
- 3. 重複執行重建運算,直到最後重建的結果影像 $h_{l+1} = h_{l}$ 。

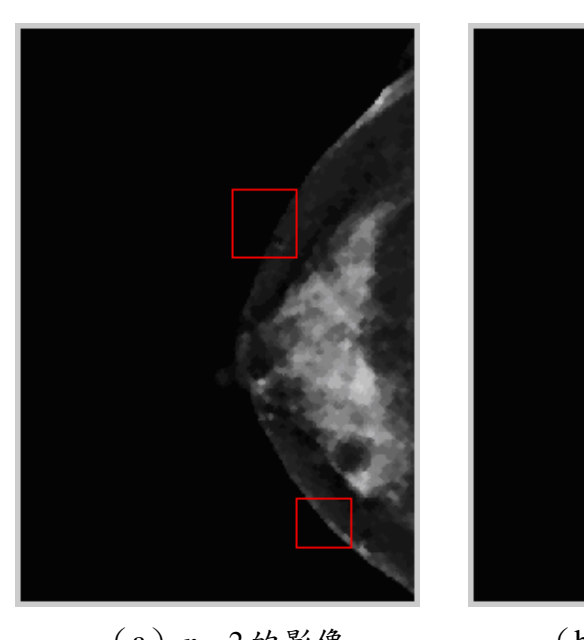
最後要說明的是,我們形態學的運算大都建立在膨脹和侵蝕的基礎運算上,所以重建的運算亦可配合斷開的運算,稱為「重建後斷開」,亦有所謂的「重建後閉合」的運算。而其相關的運用方式我們將在下一小節中,也就是「形態學的濾波」中提到。

貳、 形態學的濾波功能

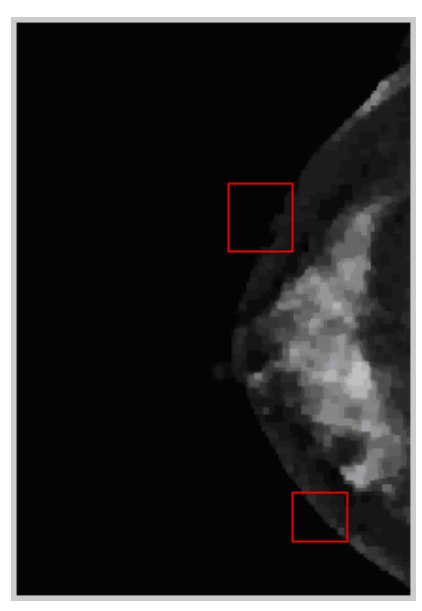
就如同前述所說的,我們在此討論形態學運算上應用之實際例子,也就是本研究會利用到之形態學處理的濾波方式。這裡將介紹兩個濾波之方法,分別為「交替循序濾波」(Alternating Sequential Filtering, ASF)、「重建斷開一重建閉合濾波」(Opening and Closing by Reconstruction Filtering, OCRF)之應用。雖然他們的運算性質大同小異,但結果卻值得去比較:

一、 交替循序濾波(ASF)

交替循序濾波的一個形式為以一連串大小遞增的結構元素去執 行斷開與閉合的運算。我們將一影像函數 f(x,y) 視為一個 3-D 曲面, 亦即其強度值解讀為 xy 平面上的高度值,當結構元素 A 頂著內側滑動 時,找到它任一部份可達到之最高點,以構成斷開運算,所以斷開可 用於移除小及明亮的細節,而留下整體及較大明亮的特徵。同理可說 明閉合的現象,即注意到當結構元素被平移到所有位置時,它在曲面 頂向下推,結構元素順著曲面上端滑動時,找到它任一部份可達到之 最低點,將構成閉合之狀態;而閉合可抑制比結構元素小之黑暗細節 的部份。我們將以下圖 3-7 說明此結果。



(a) n=2的影像



(b) n=3的影像

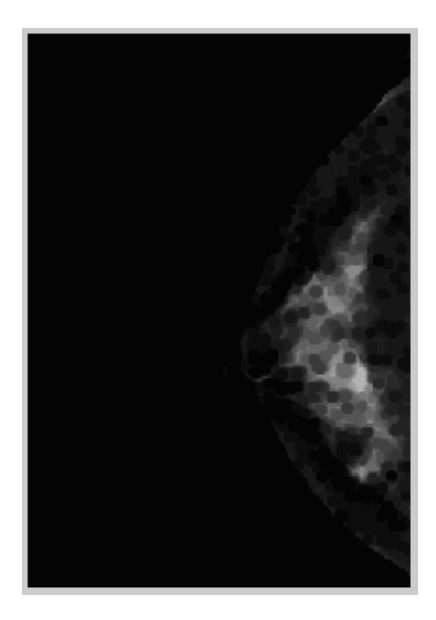
圖 3-7 以 ASF 濾波之影像

圖 3-7 為圖 3-1 之 (a) 的原始影像濾波過後之結果,由於之前就已提過 ASF 的形式是以大小遞增的結構元素來執行,所以圖 3-7 之(a) 與 (b) 中所提到之n即為結構元素的大小。接著,我們發現圖 3-7 之

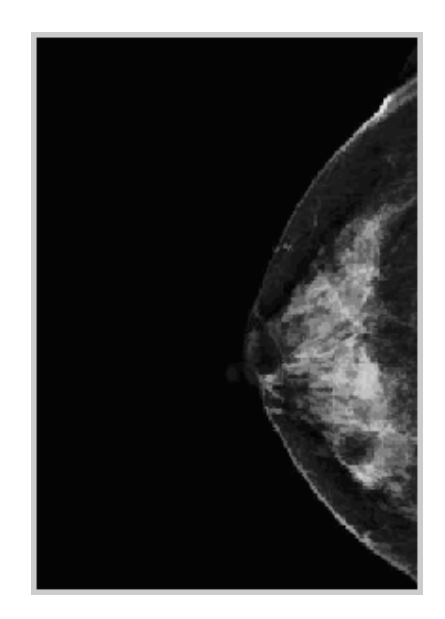
(a) 比圖 3-7之(b) 還清晰,且跟圖 3-1之(a) 乳房 x 光原始影像比較起來,邊緣的雜訊已消除。觀察圖 3-7之(a) 與(b) 中,其方型框框起來的部份,可明顯地看出圖 3-7之(b) 是屬於侵蝕過度的現象,已經造成邊緣的破壞。而且經測試之後,可以知道 n=1 時邊緣雜訊消除效果不佳,所以我們便以圖 3-7之(a) 作為 ASF 之結果。

二、 重建斷開-重建閉合濾波 (OCRF)

在上一小節的最後,提到關於形態學運算的組合,此處就採用重建配上斷開和閉合的濾波方式。它的技術並不複雜,但配以某些特別的條件執行運算。首先,我們須先建立一個如前述定理中所提到的標記影像 f;其實,找尋的辦法很簡單,將原始影像 g(遮罩影像)做侵蝕的預處理動作後即可得到。接著,配合結構元素 A 執行重建加斷開的運算後得到影像 f'。最後,要進行影像之重建閉合的形態學運算,跟重建斷開不一樣之處,重建閉合是取影像 f'的補集(f')°做重建加斷開後再取補集的運算方式。我們將結果展示如下圖 3-8。



(a) 侵蝕影像



(b) 瀘波影像

圖 3-8 以 OCRF 濾波之影像

其中圖 3-8 之 (a) 為標記影像 f ,而圖 3-8 之 (b) 為使用 OCRF 濾波後的結果。經過測試,我們選用結構元素大小n=1 時,即可得到較佳之濾波結果,所以我們選用它當作 OCRF 之結果。

根據上述討論之 ASF 和 OCRF 的結果,我們發現各有其優缺點,例如,圖 3-7之(a)邊緣部份的雜訊似乎消除的比圖 3-8之(b)還高,但 OCRF 濾波後的圖形卻較 ASF 的完整且清晰,所以依據此處討論的結果,在濾波的部份,是要視情況而採用某一種濾波方法才有效果。

第三節 影像分割之方法與步驟

本節將介紹另一個我們常使用到之影像處理的基本定理,也就是影像 分割之方法與步驟。在大多數的自動圖樣辨識與景物分析的問題中,影像 分割都是基本的預備步驟。本節所討論的方法,盡管只是全部方法中的一 部份,但它們是實際上普遍採用的代表性技術。

影像分割將一幅影像切割為它的構成區域或物體,執行切割的程度則依解決的問題而定。一般而言,當感興趣的物體在一應用中已被隔離出時,分割就應該停止。我們將在此介紹兩種分割的方法。

一、 臨界值分割

因為其直覺上的特性與實現上的簡便性,臨界值分割法在影像分割的應用上享有重要的地位。我們考慮一個根據局部影像鄰域的性質來改變臨界值的方法。如圖 3-9 (由圖 3-4 之影像分析而得)所示,直方圖對應到由明亮物體在陰暗背景上所組成的一幅影像 f(x,y)上,使得物體和背景像素的強度值分成兩組模式來形容,從背景中抽取物體的一個明顯方式,就是選取將這兩組模式分開的一個臨界值T。

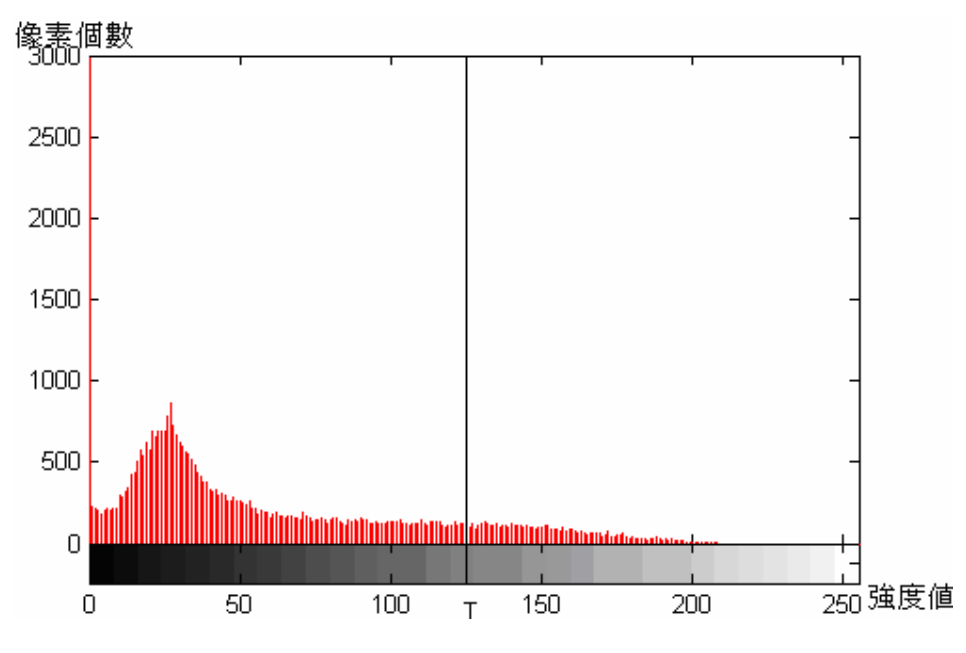


圖 3-9 有臨界值T區隔的影像直方圖

於是,對有 $f(x,y) \ge T$ 的任一點 (x,y),我們都稱為物體點 (Object point);否則就稱為背景點 (Background point)。換句話說,取臨界值 T後的影像 g(x,y)定義成

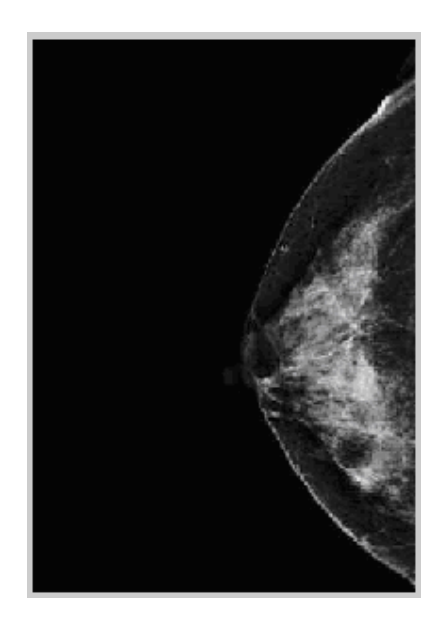
$$g(x,y) = \begin{cases} 1 & \text{if } f(x,y) \ge T \\ 0 & \text{if } f(x,y) < T \end{cases}$$
(3.14)

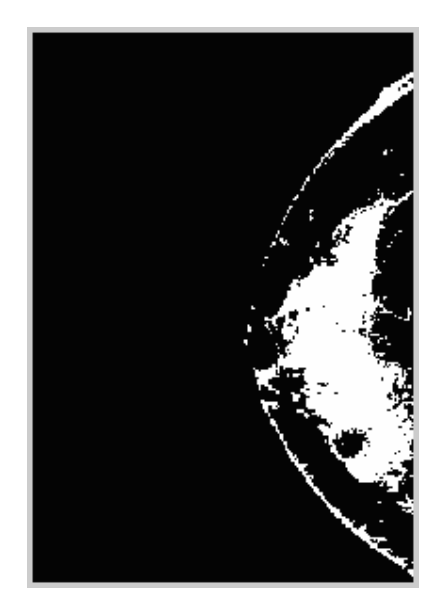
其中標示為 1 的像素對應為物體,而標示為 0 的像素對應為背景。挑選臨界值T 的一個方式可藉由檢視影像直方圖的分布後選取,或是另一種選取T 的方法是嘗試錯誤法。但我們在此提供一個常見之自動選取臨界值T 的演算法[15],條列如下:

- 1. 選取一個T的初始估測。
- 2. 用T來分割影像,將會產生兩組像素: G_1 及 G_2 。
- 3. 計算 G_1 與 G_2 區域中像素的平均強度值 μ_1 與 μ_2 。
- 4. 計算一個新的臨界值T'。

5. 反覆步驟 2 到 4,直到連續遞迴中的臨界值差異小於預先定義的參數 T_0 。

經由以上之討論,我們將可得到臨界值分割的結果,如下所示。





(a) 原始影像

(b) 分割影像

圖 3-10 以臨界值分割的影像

二、 區域成長分割

令R代表整個影像區域。我們可以把分割看成是將R劃分成n個子區域 $R_1,R_2,...,R_n$ 的過程,此時我們可以定義以下的條件:

1.
$$\bigcup_{i=1}^{n} R_i = R \circ$$

2.
$$R_i \cap R_j = \emptyset$$
 ,and $i \neq j$ °

3.
$$P(R_i) = \text{True } \circ$$

4.
$$P(R_i \bigcup R_k) = \text{False}$$
 ,and $i \neq k$ °

而我們知道第三個和第四個條件分別代表在區域中灰階值的像

素值是否相同,True 代表灰階值相同,False 代表灰階值的不同。但第四個條件中的i和k指的是互相在旁邊之區域。

顧名思義,區域成長是像素或子區域根據預先定義的準則組合成 更大區域的過程[16]。基本的方法是從一組「種子點」出發,把每個 與種子點有預先定義的類似性質的鄰近像素附加近來進行區域成長。 而選擇種子點的方法有:

- 1. 選擇一組或更多個起始點,通常可根據問題的特性做選擇。
- 在每個像素處計算同一組起始點性質,這些性質在最終會被 用來指定像素到區域上。
- 3. 具有被置於接近這些群集中心性質的像素,可以用來當作種 子點。

區域成長的另一個問題就是終止的法則。基本上,當再也無像素滿足被包括到某一區域的準則時,區域成長就應該停止。接著,將圖 3-10之(a)執行區域成長之分割,結果如下圖所示。



圖 3-11 以區域成長分割的影像